

**АНАЛИЗ И СИНТЕЗ СИГНАЛОВ И ИЗОБРАЖЕНИЙ**

УДК 621.391

**ИСПОЛЬЗОВАНИЕ ПОЛЯ НАПРАВЛЕНИЙ  
ДЛЯ ОЦЕНКИ ПАРАМЕТРОВ ГЕОМЕТРИЧЕСКИХ ИСКАЖЕНИЙ**

**И. С. Грузман, В. Б. Карпушин**

*Новосибирский государственный технический университет, г. Новосибирск*

*E-mail: [guzman@ktor.ref.nstu.ru](mailto:guzman@ktor.ref.nstu.ru)*

Получен алгоритм оценивания параметров и коррекции геометрических искажений при неизвестном фокусном расстоянии. Найдено соотношение, устанавливающее связь между полем направлений и значениями параметров геометрических искажений, применение которого позволяет преобразовывать изображения прямолинейных царапин в горизонтальные линии. Приведены результаты экспериментальных исследований, подтверждающие возможность использования поля направлений для решения задачи коррекции геометрических искажений изображений, полученных при проведении трасологических или баллистических исследований.

**Введение.** При проведении трасологических и баллистических исследований изучаются следы в целях установления оставившего их объекта. Следы скольжения, оставленные инструментами, и следы на пулях от канала ствола как гладкоствольного, так и нарезного оружия представляют собой практически прямолинейные царапины (трассы). Ширина трасс и расстояние между ними отображают индивидуальные особенности следообразующих объектов [1]. Для автоматизации исследований все шире используются методы анализа изображений следов, полученных с помощью микроскопа и цифровой фотокамеры [2, 3]. Микроскоп обеспечивает возможность изучения следов при больших увеличениях со значительной глубиной резкости, а цифровой фотоаппарат – регистрацию и ввод изображений в компьютер. В настоящее время все чаще применяются электронные микроскопы. Далее систему «цифровой фотоаппарат–микроскоп» будем называть цифровой камерой.

Обычно процедура идентификации объектов состоит в сравнении одномерных сигналов, полученных путем усреднения отсчетов яркости изображений вдоль трасс и представляющих собой оценки рельефа режущих кромок исследуемых объектов [3, 4]. При регистрации микроизображений даже небольшие нарушения перпендикулярности оптической оси объектива к поверхности исследуемого объекта или к матрице цифровой камеры приводят к

возникновению геометрических искажений, которые проявляются в том, что практически параллельные прямолинейные трассы на наблюдаемом изображении образуют веер. Это, в свою очередь, приводит к существенным искажениям формы сравниваемых одномерных сигналов. Кроме того, для удобства реализации алгоритмов оценивания рельефа режущей кромки желательно, чтобы трассы были вертикальными или горизонтальными. В этом случае усреднение будет выполняться путем суммирования отсчетов столбцов или строк изображения.

Для оценки параметров и коррекции геометрических искажений обычно используются сопряженные точки на совмещаемых изображениях [5]. Однако на микроизображениях следов обычно не удается идентифицировать сопряженные точки традиционными методами.

Цель данной работы – получить алгоритм оценивания параметров и коррекции геометрических искажений на основе поля направлений для преобразования трасс в горизонтальные линии.

**Алгоритм оценивания параметров и коррекции геометрических искажений.** Полем направлений называется поле углов преимущественного направления линий в локальной окрестности точки изображения [6]. Тангенс значения поля направления в точке изображения равен тангенсу угла наклона  $k$  прямолинейных трасс, проходящих в окрестности данной точки. Установим связь между параметрами геометрических искажений и тангенсом угла наклона трасс.

В общем случае связь между однородными координатами  $[X, Y, Z]^T$  исходного изображения  $\Lambda$  с горизонтальными линиями и однородными координатами  $[X', Y', Z']$  наблюдаемого изображения  $\Lambda'$  определяется проективным преобразованием

$$[X', Y', Z']^T = A[X, Y, Z]^T, \quad (1)$$

где  $A = \begin{bmatrix} a_{11} & a_{12} & a_{13} \\ a_{21} & a_{22} & a_{23} \\ a_{31} & a_{32} & a_{33} \end{bmatrix} \in \mathbb{R}^{3 \times 3}$  – матрица преобразования,  $T$  – символ транспонирования.

Проективное преобразование взаимно однозначно, если  $\det A \neq 0$  [7]. Связь между декартовыми координатами соответствующих точек на плоскости с учетом (1) имеет вид

$$\begin{bmatrix} x' \\ y' \end{bmatrix} = \begin{bmatrix} \frac{X'}{Z'} \\ \frac{Y'}{Z'} \end{bmatrix} = \begin{bmatrix} \frac{a_{11}x + a_{12}y + a_{13}}{a_{31}x + a_{32}y + a_{33}} \\ \frac{a_{21}x + a_{22}y + a_{23}}{a_{31}x + a_{32}y + a_{33}} \end{bmatrix}, \quad (2)$$

$$\begin{bmatrix} x \\ y \end{bmatrix} = \begin{bmatrix} \frac{X}{Z} \\ \frac{Y}{Z} \end{bmatrix} = \begin{bmatrix} \frac{b_{11}x' + b_{12}y' + b_{13}}{b_{31}x' + b_{32}y' + b_{33}} \\ \frac{b_{21}x' + b_{22}y' + b_{23}}{b_{31}x' + b_{32}y' + b_{33}} \end{bmatrix}, \quad (3)$$

где

$$B = \begin{bmatrix} b_{11} & b_{12} & b_{13} \\ b_{21} & b_{22} & b_{23} \\ b_{31} & b_{32} & b_{33} \end{bmatrix} = A^{-1}. \quad (4)$$

Для двух горизонтально расположенных точек  $[x_1, y_1]^T$  и  $[x_2, y_2]^T$  на исходном изображении  $y_1 = y_2$ . Тогда тангенс угла наклона прямой линии на наблюдаемом изображении с учетом (2) найдем из уравнения

$$k = \frac{y'_2 - y'_1}{x'_2 - x'_1} = \frac{(a_{23}a_{31} - a_{21}a_{33}) + (a_{22}a_{31} - a_{21}a_{32})y_1}{(a_{13}a_{31} - a_{11}a_{33}) + (a_{12}a_{31} - a_{11}a_{32})y_1}. \quad (5)$$

Подставив (3) в выражение (5) и проведя несложные алгебраические преобразования, с учетом (4) получим

$$k(x'_1, y'_1) = \frac{a_{21} - a_{31}y'_1}{a_{11} - a_{31}x'_1}. \quad (6)$$

Из (6) следует, что тангенс угла наклона  $k(x'_1, y'_1)$  или тангенс поля направлений в точке с координатами  $[x'_1, y'_1]^T$  изображения  $\Lambda'$  полностью определяется значениями коэффициентов  $a_{11}$ ,  $a_{21}$  и  $a_{31}$  матрицы преобразования  $A$ . Очевидно, что эти коэффициенты являются зависимыми. Чтобы установить связь между коэффициентами  $a_{11}$ ,  $a_{21}$  и  $a_{31}$ , а также связь между этими и остальными коэффициентами матрицы  $A$ , далее будем полагать, что  $A$  является матрицей вращения, удовлетворяющей следующим условиям [8]:

$$\det A = 1, \quad A^{-1} = A^T. \quad (7)$$

В частности, для матрицы вращения сумма квадратов коэффициентов  $a_{11}$ ,  $a_{21}$  и  $a_{31}$  равна единице. Совместная оценка коэффициентов  $a_{11}$ ,  $a_{21}$  и  $a_{31}$  может быть найдена методом наименьших квадратов:

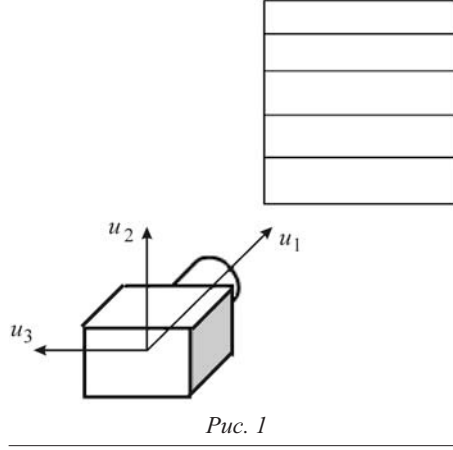
$$(\tilde{a}_{21}, \tilde{a}_{31}) = \arg \min_{a_{21}, a_{31}} Q(a_{21}, a_{31}),$$

где целевая функция

$$Q(a_{21}, a_{31}) = \frac{1}{n_{x'} n_{y'}} \sum_{x'=1}^{n_{x'}} \sum_{y'=1}^{n_{y'}} \left( \tilde{k}(x', y') - \frac{a_{21} - a_{31}y'}{\sqrt{1 - a_{21}^2 - a_{31}^2 - a_{31}x'}} \right)^2, \quad (8)$$

$$a_{11} = \sqrt{1 - a_{21}^2 - a_{31}^2}, \quad (9)$$

$\tilde{k}(x', y')$  – оценка поля направлений наблюдаемого изображения, полученная, например, с помощью алгоритма на основе спектральных моментов [9,



10];  $n_x \times n_y$  – размер наблюдаемого изображения  $L$ . В (9) учтено, что при малых углах поворота  $a_{11} > 0$ . Это ограничение соответствует реальным условиям формирования изображений.

Вращение вокруг каждой из осей  $u_1$ ,  $u_2$  и  $u_3$  на углы  $\gamma, \varphi, \theta$  (рис. 1) представляется соответствующими матрицами преобразования [11]:

$$A_1(\gamma) = \begin{bmatrix} \cos \gamma & \sin \gamma & 0 \\ -\sin \gamma & \cos \gamma & 0 \\ 0 & 0 & 1 \end{bmatrix},$$

$$A_2(\varphi) = \begin{bmatrix} \cos \varphi & 0 & \sin \varphi \\ 0 & 1 & 0 \\ -\sin \varphi & 0 & \cos \varphi \end{bmatrix},$$

$$A_3(\theta) = \begin{bmatrix} 1 & 0 & 0 \\ 0 & \cos \theta & \sin \theta \\ 0 & -\sin \theta & \cos \theta \end{bmatrix}.$$

Матрица, описывающая вращение в трехмерном евклидовом пространстве, может быть представлена шестью способами в виде произведения матриц вращений  $A_1(\gamma)$ ,  $A_2(\varphi)$  и  $A_3(\theta)$  [11]. Очевидно, что наиболее простой результат дадут те способы, в которых сначала выполняется вращение вокруг оси  $u_3$ , так как при этом горизонтальные линии остаются горизонтальными (меняется только расстояние между ними). Этот факт выражается в том, что коэффициенты  $a_{11}$ ,  $a_{21}$  и  $a_{31}$  в матрицах вращения  $A^{(1)} = A_1(\gamma)A_2(\varphi)A_3(\theta)$  или  $A^{(2)} = A_2(\varphi)A_1(\gamma)A_3(\theta)$  не зависят от угла  $\theta$ . Следовательно, его можно принять произвольным и, в частности, равным нулю. В этом случае

$$A^{(1)} = A_1(\gamma)A_2(\varphi), \quad (10)$$

$$A^{(2)} = A_2(\varphi)A_1(\gamma). \quad (11)$$

С учетом условия (7) все коэффициенты матриц (10) и (11) могут быть выражены через коэффициенты  $a_{21}$  и  $a_{31}$ :

$$A^{(1)} = \begin{bmatrix} \sqrt{1 - a_{21}^2 - a_{31}^2} & -\frac{a_{21}}{\sqrt{1 - a_{31}^2}} & -a_{31} \sqrt{\frac{1 - a_{21}^2 - a_{31}^2}{1 - a_{31}^2}} \\ a_{21} & \sqrt{\frac{1 - a_{21}^2 - a_{31}^2}{1 - a_{31}^2}} & -\frac{a_{21} a_{31}}{\sqrt{1 - a_{31}^2}} \\ a_{31} & 0 & \sqrt{1 - a_{31}^2} \end{bmatrix}, \quad (12)$$

$$A^{(2)} = \begin{bmatrix} \sqrt{1-a_{21}^2-a_{31}^2} & -a_{21}\sqrt{\frac{1-a_{21}^2-a_{31}^2}{1-a_{21}^2}} & -\frac{a_{31}}{\sqrt{1-a_{21}^2}} \\ a_{21} & \sqrt{1-a_{21}^2} & 0 \\ a_{31} & -\frac{a_{21}a_{31}}{\sqrt{1-a_{21}^2}} & \sqrt{\frac{1-a_{21}^2-a_{31}^2}{1-a_{21}^2}} \end{bmatrix}. \quad (13)$$

Здесь также учтено, что при малых углах поворота значения диагональных коэффициентов матриц вращения больше нуля.

Следует подчеркнуть, что в матрицах  $A^{(1)}$  и  $A^{(2)}$  коэффициенты  $a_{11}$ ,  $a_{21}$  и  $a_{31}$ , определяющие связь между тангенсом поля направлений и координатами  $[x', y']^T$  наблюдаемого изображения  $\Lambda'$ , одни и те же. Поэтому с точки зрения преобразования трасс в горизонтальные линии эти матрицы вращения эквивалентны. Различие остальных коэффициентов определяется порядком вращения системы координат вокруг осей  $u_1$  и  $u_2$ .

Таким образом, алгоритм преобразования прямолинейных трасс в горизонтальные линии состоит в следующем. По наблюдаемому изображению  $\Lambda'$  вычисляется оценка поля направлений  $\tilde{k}(x', y')$ ,  $x' = \overline{1, n_{x'}}$ ,  $y' = \overline{1, n_{y'}}$ . Далее находятся оценки коэффициентов  $a_{21}$  и  $a_{31}$  путем минимизации целевой функции (8). Затем по формулам (12) или (13) вычисляются остальные коэффициенты матрицы вращения и по формуле (3) выполняется геометрическое преобразование наблюдаемого изображения  $\Lambda'$ . В результате получим скорректированное изображение  $\tilde{\Lambda}$ , на котором горизонтальность линий определяется точностью оценки коэффициентов  $a_{21}$  и  $a_{31}$ .

Для реальных изображений количественная оценка качества компенсации геометрических искажений может быть выполнена только косвенно, например путем вычисления коэффициента взаимной корреляции между столбцами скорректированного изображения, находящимися на расстоянии  $\Delta$  друг от друга:

$$R = \frac{\frac{1}{n_y} \sum_{y=1}^{n_y} \tilde{\Lambda}(x, y) \tilde{\Lambda}(x + \Delta, y) - \frac{1}{n_y} \sum_{y=1}^{n_y} \tilde{\Lambda}(x, y) \frac{1}{n_y} \sum_{y=1}^{n_y} \tilde{\Lambda}(x + \Delta, y)}{\left( \frac{1}{n_y} \sum_{y=1}^{n_y} \tilde{\Lambda}^2(x, y) - \left( \frac{1}{n_y} \sum_{y=1}^{n_y} \tilde{\Lambda}(x, y) \right)^2 \right)^{1/2}} \rightarrow$$

$$\rightarrow \frac{\frac{1}{n_y} \sum_{y=1}^{n_y} \tilde{\Lambda}(x, y) \tilde{\Lambda}(x + \Delta, y) - \frac{1}{n_y} \sum_{y=1}^{n_y} \tilde{\Lambda}(x, y) \frac{1}{n_y} \sum_{y=1}^{n_y} \tilde{\Lambda}(x + \Delta, y)}{\left( \frac{1}{n_y} \sum_{y=1}^{n_y} \tilde{\Lambda}^2(x + \Delta, y) - \left( \frac{1}{n_y} \sum_{y=1}^{n_y} \tilde{\Lambda}(x + \Delta, y) \right)^2 \right)^{1/2}}, \quad (14)$$

где  $x$  – номер столбца,  $y$  – номер строки. Чем ближе значение  $R$  к единице при фиксированном значении  $\Delta$ , тем лучше скорректированы геометрические искажения.

Для практического применения алгоритма представляет интерес анализ точности оценки углов поворота цифровой камеры, проведенный, например, методом математического моделирования. Для этого необходимо задать фокусное расстояние объектива и порядок вращения камеры вокруг каждой из осей  $u_1$ ,  $u_2$  и  $u_3$ .

**Оценивание углов поворота  $\gamma$  и  $\varphi$  при известном фокусном расстоянии.** Пусть изображения  $\Lambda$  и  $\Lambda'$  получены одной и той же цифровой камерой с фокусным расстоянием  $f$  при неподвижном оптическом центре. В этом случае связь между трехмерной системой координат камеры и координатами изображения определяется выражениями [8]

$$\begin{bmatrix} x \\ y \end{bmatrix} = \begin{bmatrix} f \frac{X}{Z} \\ f \frac{Y}{Z} \end{bmatrix}$$

для изображения  $\Lambda$  с горизонтальными трассами и

$$\begin{bmatrix} x' \\ y' \end{bmatrix} = \begin{bmatrix} f \frac{X'}{Z'} \\ f \frac{Y'}{Z'} \end{bmatrix}$$

для геометрически искаженного изображения  $\Lambda'$ .

Переход от трехмерной прямоугольной декартовой системы координат  $[X, Y, Z]^T$ , в которой получено изображение  $\Lambda$ , к системе координат  $[X', Y', Z']^T$ , в которой получено изображение  $\Lambda'$ , осуществляется путем последовательного вращения вокруг осей  $u_3$ ,  $u_2$  и  $u_1$ :

$$[X', Y', Z']^T = A_1(\gamma)A_2(\varphi)A_3(\theta)[X, Y, Z]^T = A[X, Y, Z]^T.$$

В этом случае уравнение (6) имеет вид

$$k(x', y') = \frac{-f \sin \gamma + y' \operatorname{tg} \varphi}{f \cos \gamma + x' \operatorname{tg} \varphi}.$$

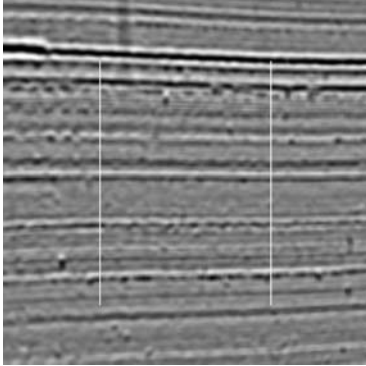


Рис. 2

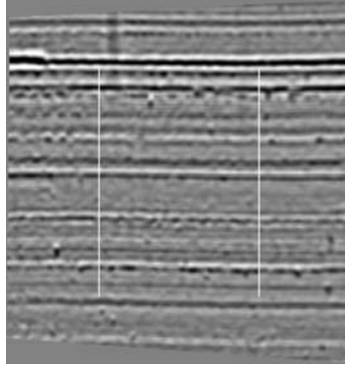


Рис. 3

Как и следовало ожидать, для указанной последовательности вращения системы координат тангенс угла наклона  $k(x', y')$  не зависит от угла  $\theta$ . Совместная оценка углов поворота  $\gamma$  и  $\varphi$ , так же как и коэффициентов  $a_{21}$  и  $a_{31}$ , может быть найдена методом наименьших квадратов:

$$(\tilde{\gamma}, \tilde{\varphi}) = \arg \min_{\gamma, \varphi} J(\gamma, \varphi), \quad (15)$$

где целевая функция

$$J(\gamma, \varphi) = \frac{1}{n_{x'} n_{y'}} \sum_{x'=1}^{n_{x'}} \sum_{y'=1}^{n_{y'}} \left( \tilde{k}(x', y') - \frac{-f \sin \gamma + y' \operatorname{tg} \varphi}{f \cos \gamma + x' \operatorname{tg} \varphi} \right)^2. \quad (16)$$

**Результаты экспериментальных исследований.** Изображение, полученное с помощью цифровой камеры, показано на рис. 2. Результат коррекции его геометрических искажений приведен на рис. 3, при этом коэффициент взаимной корреляции столбцов (14), расположенных на расстоянии  $\Delta = 200$  пикселей друг от друга и отмеченных на рисунках белыми линиями, возрос с 0,33 до 0,85.

Анализ эффективности алгоритмов коррекции геометрических искажений и оценивания углов  $\gamma$  и  $\varphi$  проводился методом компьютерного моделирования на тестовом изображении (рис. 4). Столбцы тестового изображения представляют собой одну и ту же реализацию гауссовского случайного процесса с дисперсией  $D_{\Delta}$  и интервалом корреляции 3,5 пикселя. Для оценки помехоустойчивости алгоритмов к тестовому изображению добавлялся аддитивный белый шум с дисперсией  $D_{\eta}$ . Анализ проводился для двух вариантов при одном и том же фокусном расстоянии  $f = 100$ . В первом варианте  $\varphi = 3^\circ$ ,  $\gamma = 1^\circ$ ,  $\theta = 2^\circ$ , во втором варианте  $\gamma = \varphi = \theta = 5^\circ$ .

Суть первого эксперимента заключалась в следующем. Тестовое изобра-

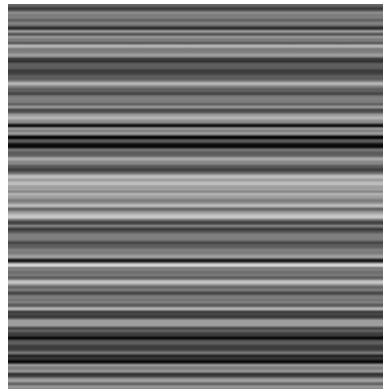


Рис. 4

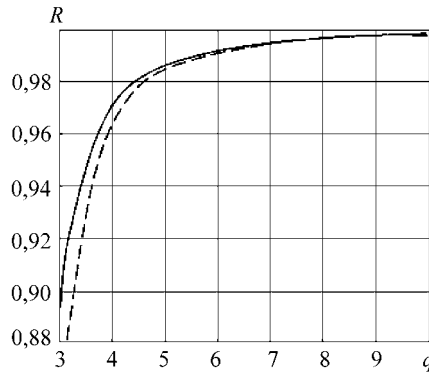


Рис. 5

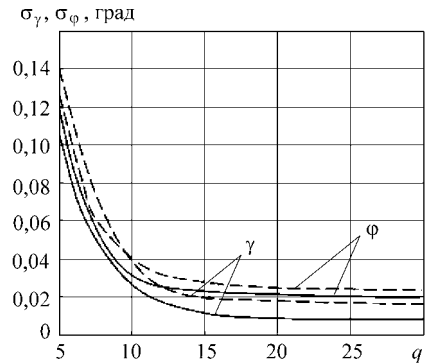


Рис. 6

жение подвергалось геометрическим искажениям. Затем добавлялся аддитивный шум и вычислялись оценки коэффициентов  $a_{21}$ ,  $a_{31}$  и матрицы вращения при неизвестном фокусном расстоянии. Полученная матрица вращения использовалась для коррекции геометрических искажений. Чтобы коэффициент взаимной корреляции  $R$  отражал только качество коррекции геометрических искажений и не зависел от дисперсии аддитивного шума, он вычислялся для искаженного и скорректированного изображений при отсутствии шума. На рис. 5 показаны зависимости коэффициента взаимной корреляции столбцов скорректированного изображения от отношения сигнал/шум  $q = \sqrt{D_s/D_n}$  при  $\Delta = 200$ , где сплошная линия – первый вариант, а штриховая – второй. Коэффициент  $R$  для искаженных изображений равнялся 0,41 и 0,34 соответственно.

Второй эксперимент – это анализ точности оценивания углов поворота камеры  $\gamma$  и  $\varphi$  при известном фокусном расстоянии с помощью алгоритма (15), (16). На рис. 6 приведены зависимости

$$\sigma_\gamma = \sqrt{\frac{1}{N} \sum_{i=1}^N (\gamma - \tilde{\gamma}_i)^2}, \quad \sigma_\varphi = \sqrt{\frac{1}{N} \sum_{i=1}^N (\varphi - \tilde{\varphi}_i)^2}$$

от отношения сигнал/шум  $q$ , где  $N = 500$  – количество повторений эксперимента;  $\tilde{\gamma}_i$  и  $\tilde{\varphi}_i$ ,  $i = 1, N$ , – оценки углов  $\gamma$  и  $\varphi$ . Здесь также сплошные линии соответствуют первому варианту, а штриховые – второму.

**Заключение.** Экспериментальные исследования в предлагаемой работе показали, что поле направлений может успешно использоваться для коррекции геометрических искажений и преобразования прямолинейных трасс в горизонтальные линии даже при отсутствии данных о фокусном расстоянии. Для отношений сигнал/шум  $q > 5$  коэффициент взаимной корреляции столбцов скорректированного изображения превышает 0,98, а среднеквадратическое отклонение ошибки углов поворота камеры меньше  $0,15^\circ$ . Коррекция геометрических искажений реального изображения обеспечила увеличение коэффициента корреляции столбцов более чем в 2,5 раза, что должно существенно повысить качество оценки рельефа режущих кромок анализируемых объектов и вероятность правильного распознавания изображений при проведении трасологических и баллистических исследований.



## СПИСОК ЛИТЕРАТУРЫ

1. **Аверьянова Т. В., Белкин Р. С., Корухов Ю. Г., Россинская Е. Р.** Криминалистика: Учебник для вузов /Под ред. Р. С. Белкина. М.: Изд. группа «НОРМА-ИНФРА•М», 2007.
2. **Пантелеев В. Г., Егорова О. В., Клыкова Е. И.** Компьютерная микроскопия. М.: Техносфера, 2005.
3. **Heizmann M., Puente L. F.** Automated analysis and comparison of striated toolmarks // Proc. of the Fourth European Meeting for Shoeprint/Toolmark Examiners (SPTM 2001) /Eds. H. Katterwe and A. Korschgen. Wiesbaden: ВКА, 2001. P. 121.
4. **Heizmann M.** Strategies for the automated recognition of marks in forensic science // Proc. of the Intern. Symp. on Law Enforcement Technologies. Orlando, Florida, USA, 2002. P. 68.
5. **Хорн Б. К. П.** Зрение роботов. М.: Мир, 1989.
6. **Методы** компьютерной обработки изображений /Под ред. В. А. Сойфера. М.: Физматлит, 2003.
7. **Юнг Дж. В.** Проективная геометрия. М.: ИЛ, 1949.
8. **Форсайт Д., Понс Ж.** Компьютерное зрение. Современный подход. М.: Издательский дом «Вильямс», 2004.
9. **Грузман И. С., Новиков К. В.** Сегментация анизотропных изображений на основе локальных спектральных характеристик // Автометрия. 2004. **40**, № 4. С. 26.
10. **Грузман И. С., Новиков К. В.** Быстрый алгоритм сегментации анизотропных изображений на основе локальных спектральных моментов // Изв. вузов России. Сер. Радиоэлектроника. 2005. № 3. С. 50.
11. **Корн Г., Корн Т.** Справочник по математике (для научных работников и инженеров). М.: Наука, 1978.

*Поступила в редакцию 28 ноября 2007 г.*